

AF 42/04/serce
49226A RA AKU 125000

100 nm

Fig. 1

R. Virologist

AF 42/84/
499272-99 SKILL TYPE 2000

100

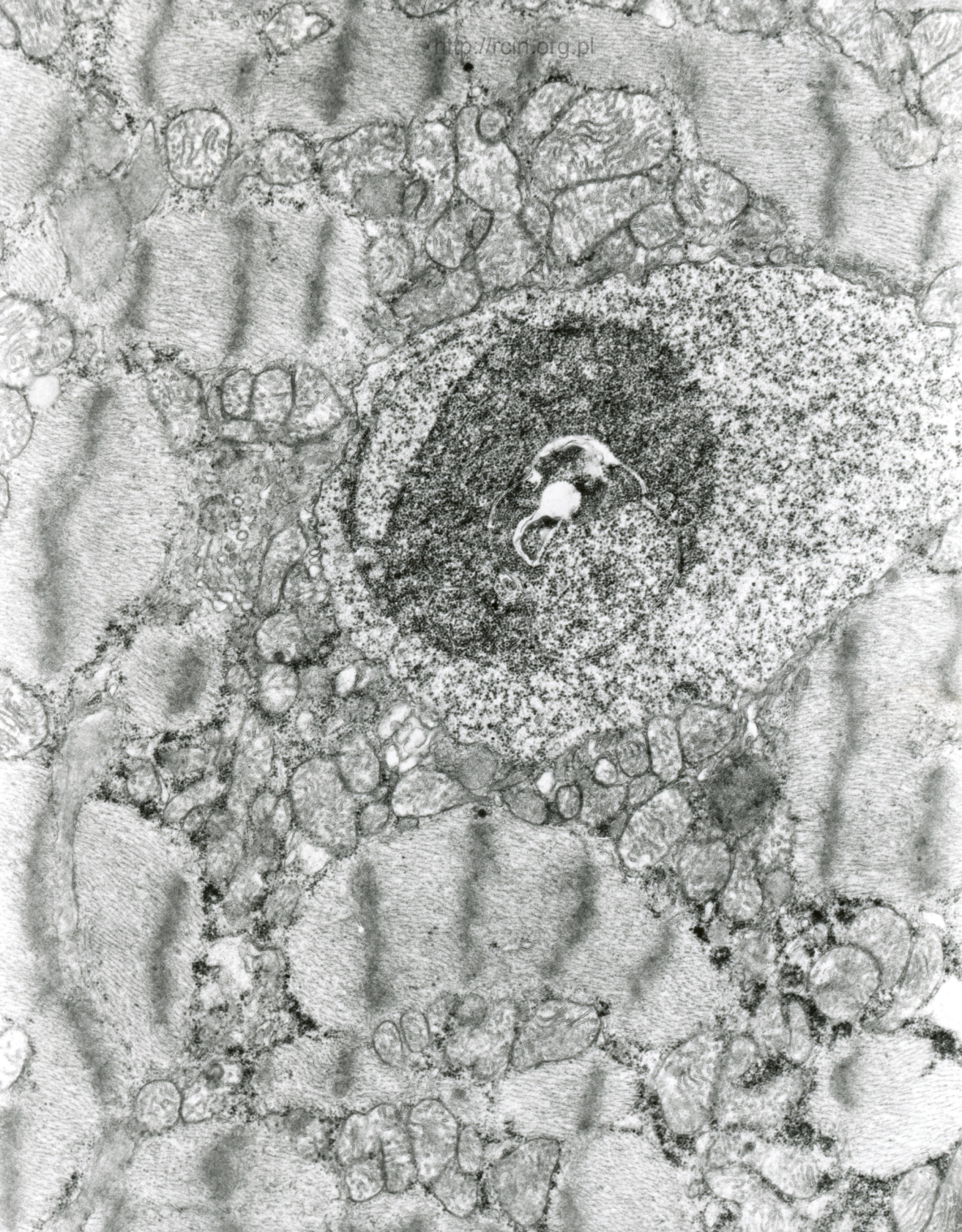
Fig. 2

HTC-Experim9.p

AF 42/94/serce
420059 88.8KV 1X5000

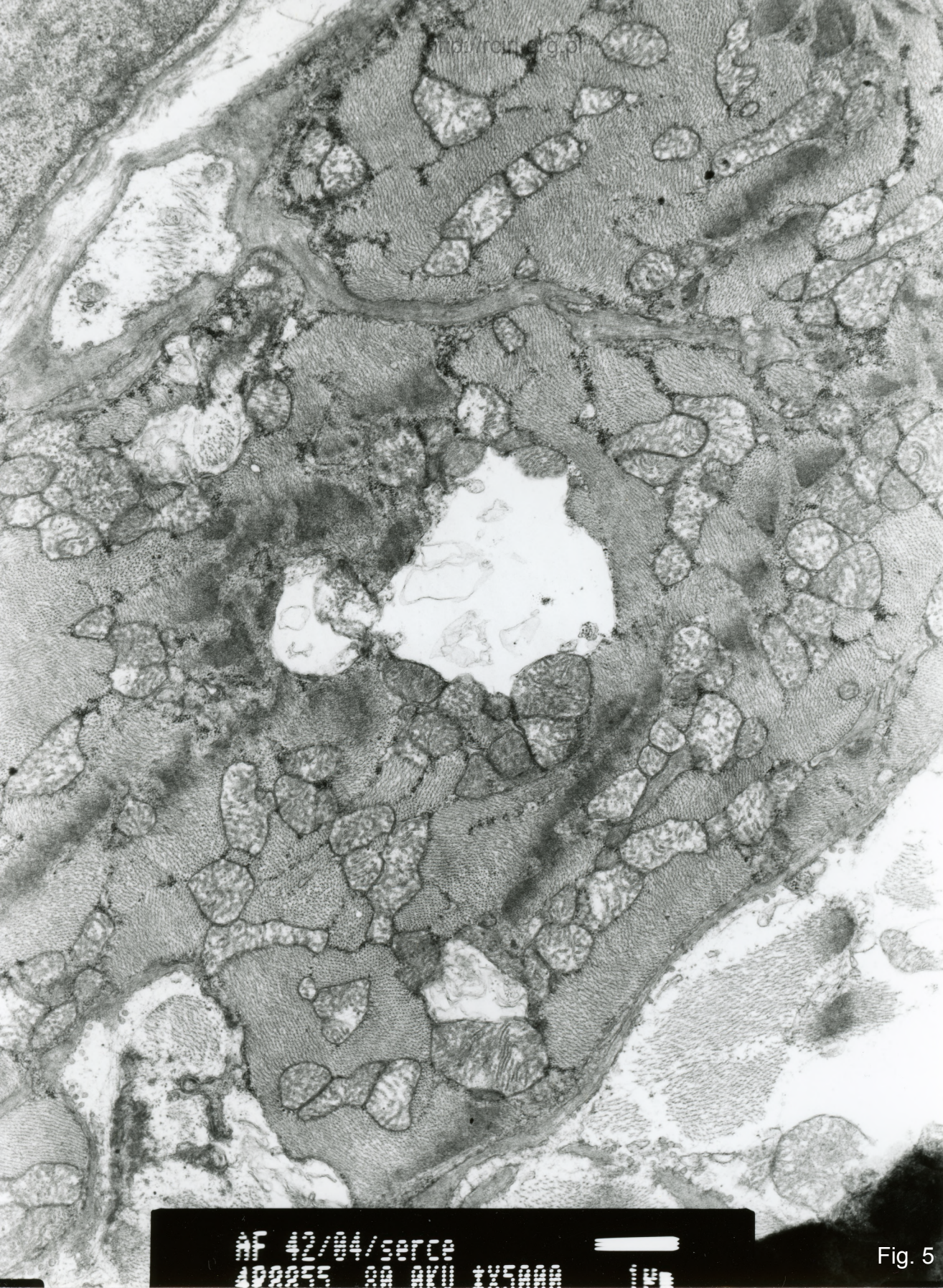
IPB

Fig. 3



AF 42/04/serce
AP22252 28.04.2011 TV6000

Fig. 4

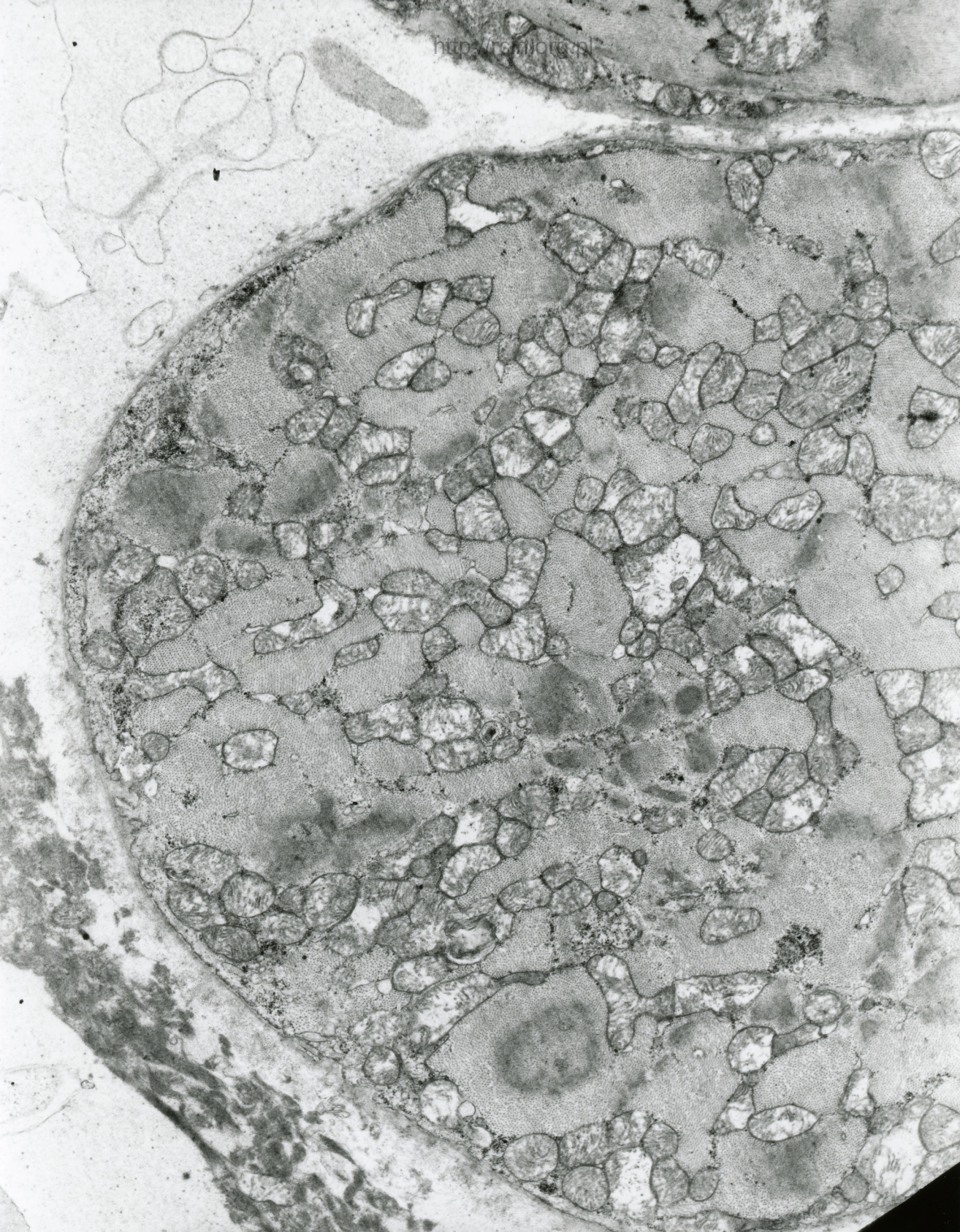


AF 42/04/Serce
292255 AA AKU 1X5000

Fig. 5

AF 42/04/
422276 BB AKU 1X4000 2µ

Fig. 6



AF 42/04/serce
10005c 08.VII.1998 20k

Fig. 7



MF 42/04/serce
428257 RA AKU 1275nm

Fig. 8

42/04 serce

Analiza ultrastrukturalna wykazała obecność licznych ziaren glikogenu, zarówno w postaci rozproszonej (Fig. 1), jak otoczonych błoną (Fig. 2-4) Obecne były też wakuole (Fig.5). Obserwowano liczne mitochondria, charakteryzujące się często jasną macierzą i ubytkiem grzebieni (Fig.6-8).

Ultrastructural analysis revealed the presence of numerous glycogen granules, both free (Fig. 1) and surrounded by membranes (Figs. 2-4). Vacuoles were also present (Fig.5). Numerous mitochondria were observed, often characterized by a bright matrix and loss of mitochondrial cristae (Figs.6-8).